

秋田高等工科大学  
秋田大学工科大学  
秋田大学工科大学

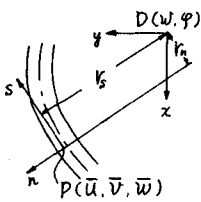
正員 堀江 保  
正員 塚農 知徳  
正員 藤木 任三

1. はじめに

いわゆる梁の古典曲げ理論においては、せん断ひずみゼロの仮定より出発し、せん断応力は軸応力とのつりあいより求められている。この仮定は、同様に薄肉部材に対するネリ拘束ねじりの古典理論にも応用されている。これらの理論では、せん断応力によるせん断ひずみを無視しており、変位場を求める段階においては応力のつりあいを満たしてはいる、という矛盾した結果を生み出す。本文は、特にねじりを受ける部材に注目し、断面形状によっては、またネリ拘束の大きい部分ではこのせん断変形の影響を無視できない、この観点に立ち、変位場をつりあいを満たすべく修正したものである。その際、基本的仮定として「I」断面形不変、「II」肉厚中心面に垂直で部材軸に平行な面のせん断ひずみは無視する、を用いた。

2. ひずみ成分表示

本法によるひずみ成分誘導の概略を示すところのようになる(詳細は文献<sup>1)</sup>参照)。



座標系は横断面上の任意原点 D に関する x, y, z 座標系、および薄肉中心線に関する s, n, z 座標系を用いる。また、左図において  $r_s, r_n$  は原点より s 方向、n 方向までの距離である。

x, y, z 座標系に関する変位-ひずみ関係として次式を用いる。

$$\epsilon_x = \frac{\partial u}{\partial x} \quad \epsilon_y = \frac{\partial v}{\partial y} \quad \epsilon_z = \frac{\partial w}{\partial z} \quad (1)$$

$$\gamma_{xy} = \frac{\partial u}{\partial y} + \frac{\partial v}{\partial x} \quad \gamma_{yz} = \frac{\partial v}{\partial z} + \frac{\partial w}{\partial y} \quad \gamma_{zx} = \frac{\partial u}{\partial z} + \frac{\partial w}{\partial x} \quad (2)$$

仮定「I」より  $\epsilon_x = \epsilon_y = \gamma_{xy} = 0$  だから原点まわりのねじり角を  $\phi$  とし次式が求まる。

$$u = -y \cdot \phi \quad v = x \cdot \phi \quad (3)$$

s, n, z 座標系のせん断ひずみは、x, y, z 座標系との関係より

$$\gamma_{sz} = \frac{\partial w}{\partial s} + r_s \cdot \phi' \quad \gamma_{nz} = \frac{\partial w}{\partial n} + r_n \cdot \phi' \quad (4) a, b$$

となる。また、微小要素  $d s \cdot d z$  の z 軸方向の応力のつりあより次式を得る。

$$r_{sz}^* = \frac{\partial}{\partial z} \left( \int_s \frac{\partial \sigma_z^*}{\partial z} t \, d s \right) \quad (5)$$

(5)式において \* は薄肉中心線上のものを表わし、応力

は、平均値として中心線に関するものを代表させた。また、たの軸方向変化はなにもとした。

(6)式ではじめ軸応力  $\sigma_z$  のつりあうせん断変形を無視したものを (4) a 式とより

$$\bar{w}_1^* = \int_0^s \frac{r_s}{G t} \, d s - r_n \cdot \phi_1' \quad (6)$$

となる。ここで、添字 1 は軸応力  $\sigma_z$  のつりあいを無視したときの変位を表わす。一方、(4) b 式に仮定「II」を用いると次式になる。

$$\bar{w}_1 = \bar{w}_1^* - r_n \cdot \phi_1' \cdot n$$

上式に(6)式を代入し、また変位の連続条件  $\oint \frac{\partial \bar{w}_1^*}{\partial s} \, d s = 0$  より  $\phi_1$  を求めるべき式を得る。

$$\bar{w}_1 = \bar{c}_1 - (\bar{w} + n \cdot r_n) \phi_1' \quad (7)$$

ここで

$$\bar{w} = \int_0^s \left\{ r_s^* - \frac{1}{t} \int_s \frac{r_s^*}{t} \, d s \right\} \, d s \quad (8)$$

である。(7)式中積分定数  $\bar{c}_1$  は仮想薄板の方法<sup>2)</sup>を用いて原点 D 上の変位で表わせばから次式が求まる。

$$\bar{w}_1 = w_1 - \omega \cdot \phi_1' \quad (9)$$

ここで、 $\omega$  はネリ体積ゼロと満たすよう選ぶべき式で与えられる。

$$\omega = \bar{w} + r_n \cdot n - \frac{1}{t} \int_0^s (\bar{w} + r_n \cdot n) \, d F \quad (10)$$

(7)式より軸応力を求める(5)式に代入して同様の手順を繰り返すと、修正後の変位を添字 2 を付して表わして

$$\bar{w}_2 = w_2 - \omega \cdot \phi_2' + \frac{E}{G} \beta \omega \cdot \bar{\omega} \quad (11)$$

二、重を新たに自由度として設けたパラメータとして次式で表わされる。

$$\bar{w} = \varphi_1'''' \quad (12)$$

また

$$B_{\omega} = \int_0^L \frac{1}{k} S_{\omega} dS \quad S_{\omega} = S_{\omega 0} - \frac{\phi \frac{1}{2} S_{\omega} dS}{\phi \frac{1}{2} dS} \quad S_{\omega 0} = \int_0^L \omega^2 dS \quad (13)$$

である。(13)式および(11)式よりひずみ成分は

$$\begin{aligned} \epsilon_z &= -\omega \cdot \varphi'' + \frac{E}{G} B_{\omega} \bar{w}' \\ \delta_{z2} &= \Theta \cdot \varphi' + \frac{E}{Gk} S_{\omega} \bar{w} \end{aligned} \quad (14) a, b$$

本法においては、1回の修正で十分であることが確かめられたので上式において添字は省いた。また、④は次式で与えられる。

$$\Theta = \begin{cases} 2n + \frac{1}{k} \frac{\phi R_2^2 dS}{\phi \frac{1}{2} dS} & (\text{南断面}) \\ 2n & (\text{南断面}) \end{cases} \quad (15)$$

### 3. 微分方程式と境界条件

前項のひずみ成分より内部ひずみエネルギーを求め仮想仕事の原理を適用すると、以下の微分方程式および境界条件が得られる。

$$\begin{aligned} EJ_{\omega} \varphi'''' - GJ_z \varphi'' - E_g K_{\omega} \bar{w}'' - ED_{\omega} \bar{w}' &= m_z + m_{\omega}' \\ E_g K_{\omega} \varphi'' + ED_{\omega} \varphi' - E_{gg} R_{\omega} \bar{w} + E_g D_{\omega} \bar{w} &= 0 \end{aligned} \quad (16) a, b$$

$Z = Z_1$  および  $Z = Z_2$  において

$$\begin{aligned} \delta \varphi &= 0 \quad \text{または} \\ -EJ_{\omega} \varphi'' + GJ_z \varphi' + E_g K_{\omega} \bar{w}'' + ED_{\omega} \bar{w}' &= \bar{T}_z - m_{\omega} \\ \delta \varphi' &= 0 \quad \text{または} \\ -EJ_{\omega} \varphi''' + E_g K_{\omega} \bar{w}''' &= \bar{M}_{\omega} \\ \delta \bar{w} &= 0 \quad \text{または} \\ -E_g K_{\omega} \varphi'' + E_{gg} R_{\omega} \bar{w}' &= \bar{H}_{\omega} \end{aligned} \quad (17) a-f$$

(16)式(17)式において  $E_g = E^2/G$ ,  $E_{gg} = E^2/G^2$  であり、また

$$\begin{aligned} J_z &= \int_R \Theta^2 dF & J_{\omega} &= \int_R \omega^2 dF & D_{\omega} &= \int_R \frac{\Theta}{k} S_{\omega} dF \\ D_{\omega\omega} &= \int_R \frac{S_{\omega}^2}{k^2} dF & K_{\omega} &= \int_R B_{\omega} \omega dF & R_{\omega} &= \int_R B_{\omega}^2 dF \\ m_z &= \int_R (P_{gz} \cdot X - P_{gz} \cdot Y) dF & m_{\omega} &= \int_R P_{gz} \cdot \omega dF \\ \bar{T}_z &= \int_R T_{z2} \cdot Y_2 dF & \bar{M}_{\omega} &= \int_R O_2 \cdot \omega dF & \bar{H}_{\omega} &= \int_R \frac{E}{G} O_2 \cdot B_{\omega} dF \end{aligned}$$

である。さらに  $P_{gz}$ ,  $P_{gz}$ ,  $P_{gz}$  は各々分布荷重  $P_a$  の  $X$ ,  $Y$ ,  $Z$  方向成分である。

参考文献 リ根江保、椋置知徳、薄木正三：薄肉直線杆のせん断変形解析(才引回講義会概要集) 2) 西野他：動荷と曲げおよびねじりを受ける薄肉断面部材(土木学会論文集 225号) 3) 椋置知徳：せん断変形の影響を考慮した剛性マトリックスと薄肉骨組系の解析(橋梁と基礎 74-8) 4) 小松定夫著：薄肉構造物の理論と計算(P258)

(16)式(17)式より重を消却すると、以下の微分方程式、および境界条件が導かれる。

(微分方程式)

$$\varphi'''' - 2\alpha \varphi'' + \beta^2 \varphi' = -\frac{a_1}{n_1 EJ_{\omega}} m_z \quad (18)$$

(境界条件)  $Z = Z_1$  および  $Z = Z_2$  において

$$\begin{aligned} \varphi &= 0 \quad \text{または} \quad \varphi'' - 2\alpha \varphi'' + \beta^2 \varphi' = \frac{a_1}{n_1 EJ_{\omega}} \bar{T}_z \\ \varphi' &= 0 \quad \text{または} \quad \varphi'' - (2\alpha + a_2) \varphi' = \frac{1}{n_1 EJ_{\omega}} (a_1 n_3 \bar{M}_{\omega} + m_z) \end{aligned} \quad (19) a, b$$

$$\varphi'' - (2\alpha - a_1) \varphi' + (\beta^2 - \frac{a_1 a_3 n_2}{n_1}) \varphi' = \frac{1}{n_1 EJ_{\omega}} m_z \quad \text{または}$$

$$\varphi'' - (2\alpha - a_1) \varphi' = \frac{1}{n_1 EJ_{\omega}} (m_z + a_1 a_4 n_3 \bar{H}_{\omega}) \quad (20) a, b$$

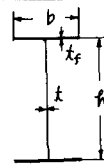
二、二

$$n_1 = 1 - \frac{a_2 a_5}{a_2} \quad n_2 = 1 + \frac{a_2 a_5}{a_2} \quad n_3 = 1 + \frac{a_2}{a_1}$$

$$2\alpha = \frac{1}{n_1} (a_1 + a_3 + 2a_4 a_5) \quad \beta^2 = \frac{1}{n_1} (a_1 a_3 - a_2 a_4 a_5)$$

$$a_1 = \frac{G D_{\omega\omega}}{E R_{\omega\omega}} \quad a_2 = \frac{G D_{\omega}}{E K_{\omega\omega}} \quad a_3 = \frac{G J_z}{E J_{\omega}} \quad a_4 = \frac{G K_{\omega\omega}}{E R_{\omega\omega}} \quad a_5 = \frac{D_{\omega}}{J_{\omega}}$$

### 4. 数値計算例



左図の2軸対称I形断面を用い、単純支持梁の中央に集中ねじり荷重が作用したときの載荷点のねじり角について微分方程式および剛性法による2解を求めた。

$b = 50 \text{ cm}$ ,  $h = 100 \text{ cm}$ ,  $t_f = 2 \text{ cm}$ ,  $t_w = 1 \text{ cm}$  とし、スパン長  $l = 10 \text{ m}$ ,  $E/G = 2.625$  とする。次表のような結果となる。

	せん断変形考慮	せん断変形無視
剛性法 A	$0.8633 \times 10^{-7}$	$0.8575 \times 10^{-7}$
剛性法 B	$0.8647 \times 10^{-7}$	
微分方程式の解	$0.8646 \times 10^{-7}$	$0.8575 \times 10^{-7}$

二、二、剛性法 A は本法により導かれる剛性マトリックスを用いて 12 分割したときの解、また剛性法 B は文献 3) で導かれた剛性マトリックスを用いて計算したものである。さらに微分方程式の解において、せん断変形と無視したものは文献 4) を参照した。